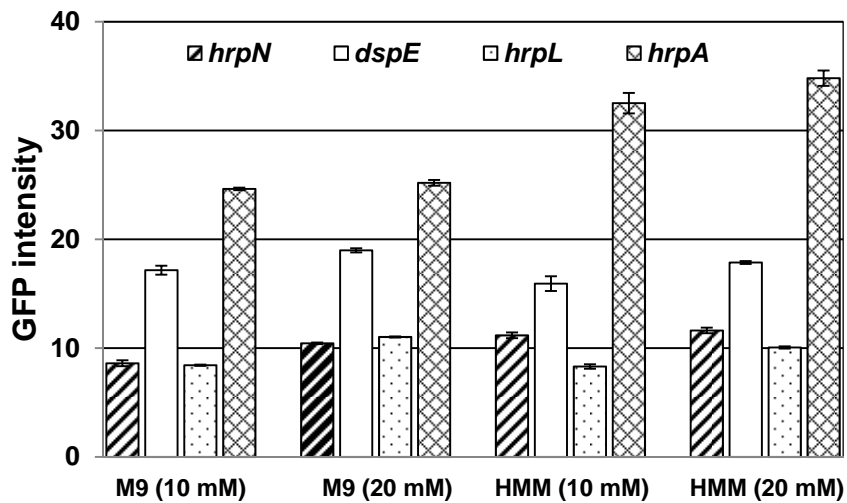
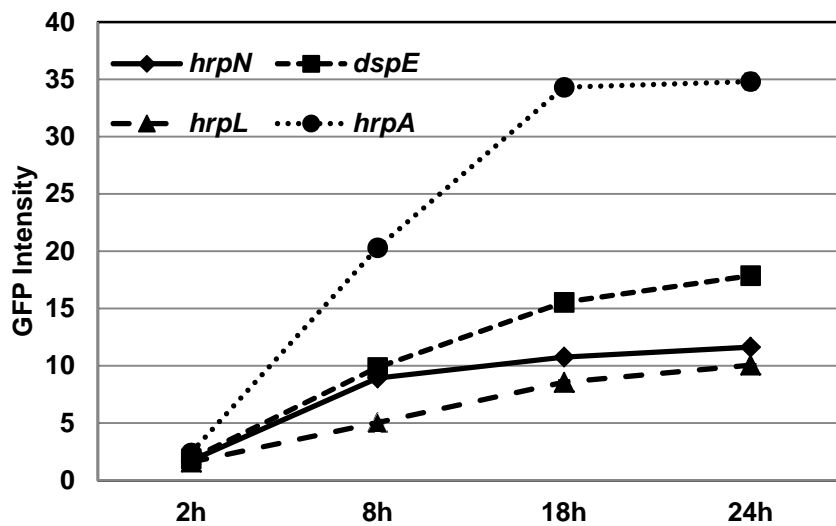
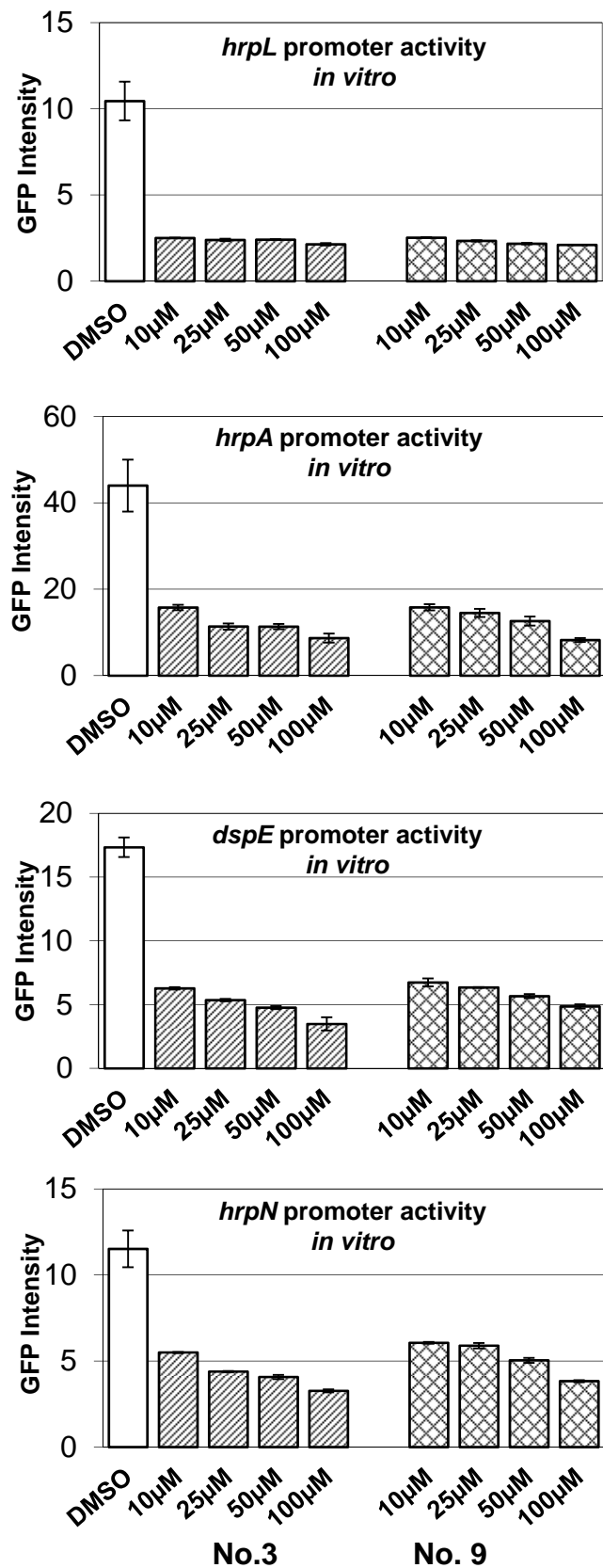
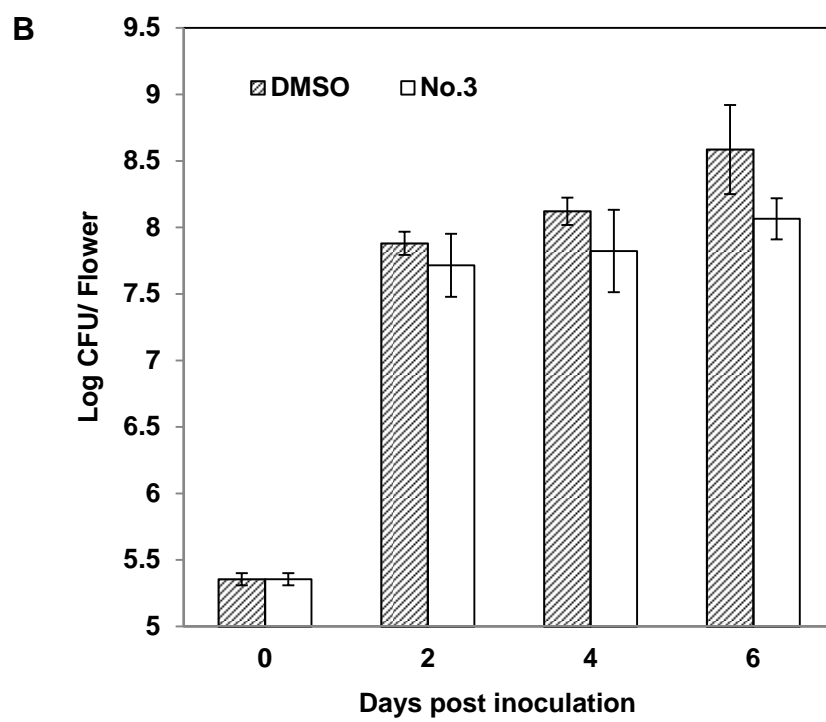
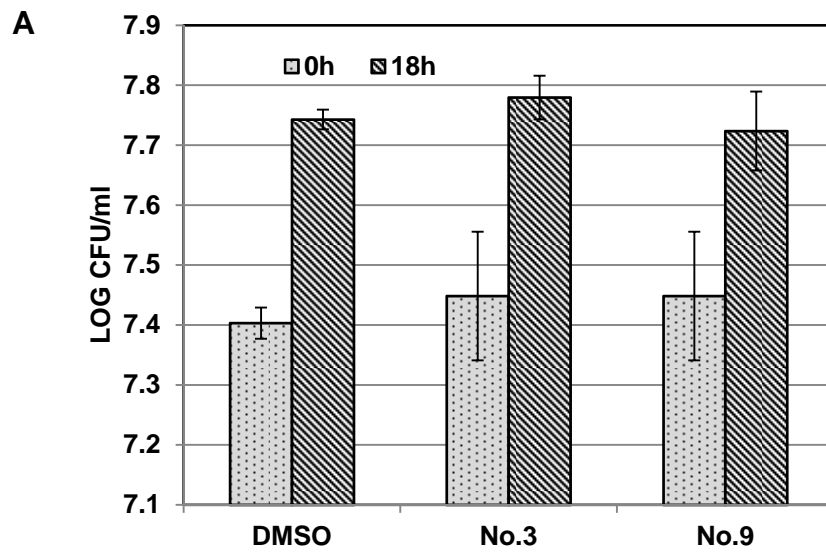


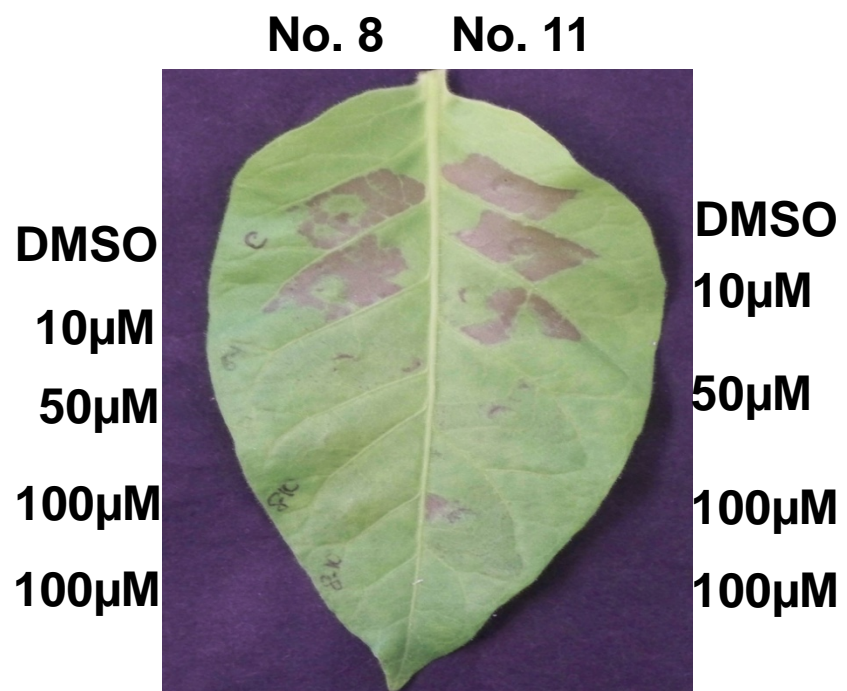
A**B**



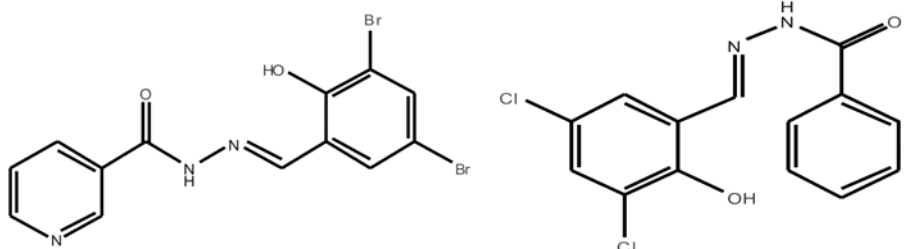
Yang et al. Fig. S2



Yang et al. Fig. S3

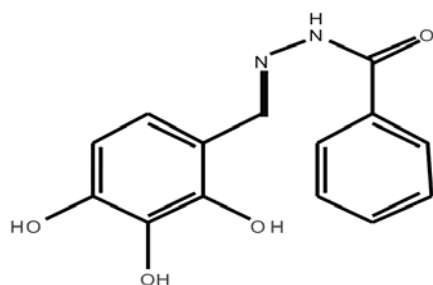


Yang et al. Fig. S4

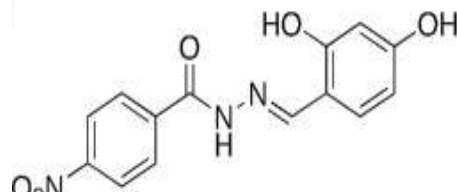


No. 1 (ME0052)

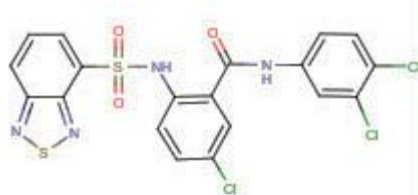
No. 2 (ME0053)



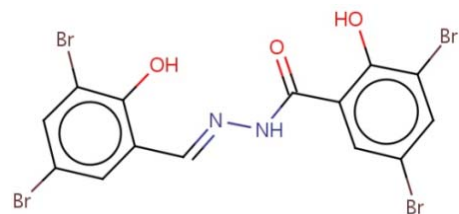
No. 3 (ME0054)



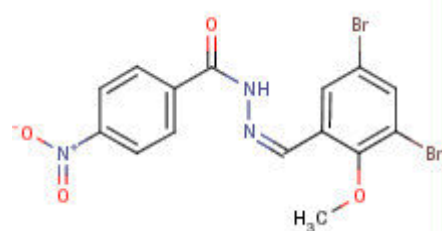
No. 4 (ME0055)



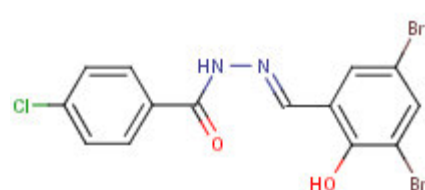
No. 5 (INP0002)



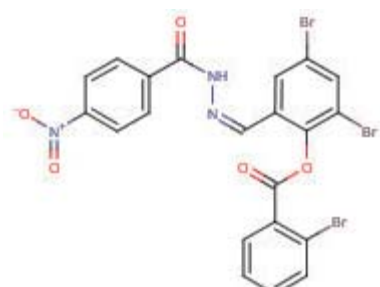
No. 9 (5277768)



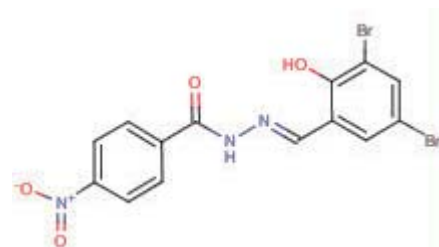
No. 10 (5472847)



No. 11(5551447)



No. 12 (5559869)



No.14 (INP0007)